

## Лекция 3

# Переходные процессы в линейных электрических цепях

*Для студентов образовательной программы «Электроэнергетика»*

Таранов Александр Викторович  
кандидат технических наук,  
Доцент кафедры «Энергетические системы»

## **План лекции:**

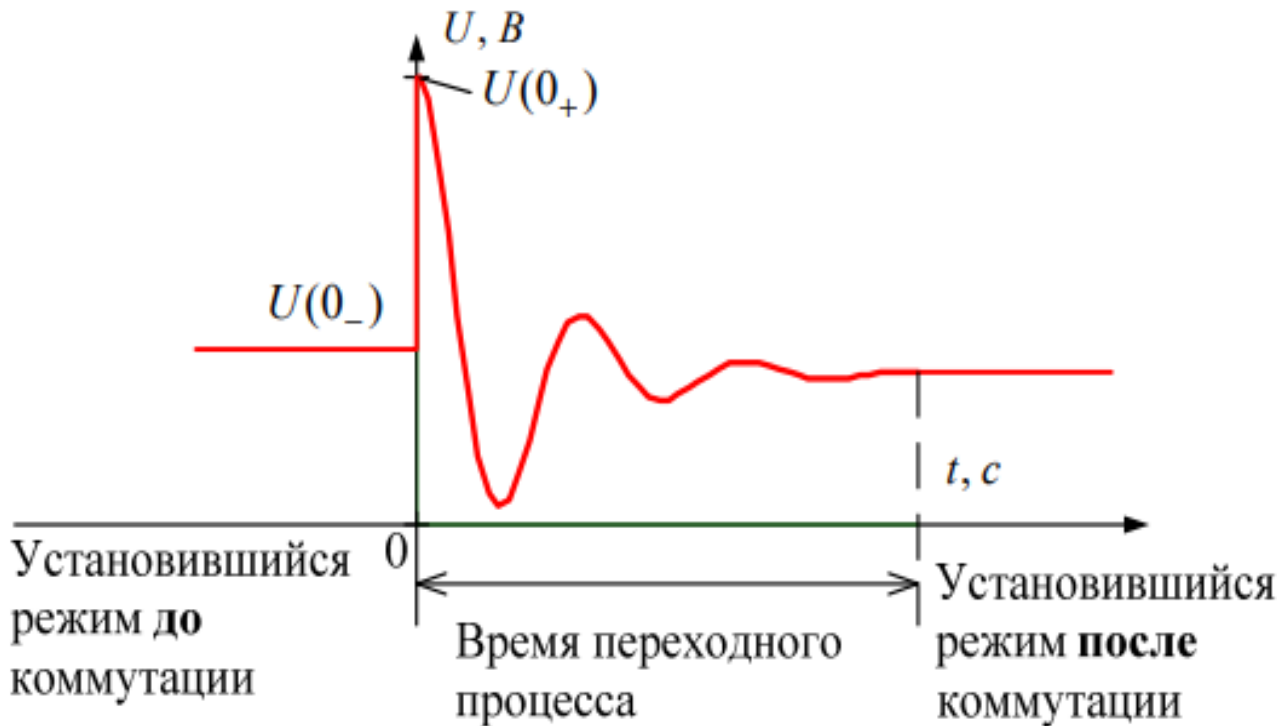
- 1.1 Переходные процессы в простейших цепях. Нулевые начальные условия;
- 1.2 Законы коммутации;
- 1.3 Пример расчета.

## 1.1 Переходные процессы в простейших цепях. Нулевые начальные условия

Под **переходными процессами** понимают процессы перехода от одного установившегося режима работы электрической цепи к другому, чем-либо отличающемуся от предыдущего, например: величиной амплитуды, фазы, частоты или значениями параметров схемы. Переходные процессы возникают при включении или отключении источников, элементов цепи, при коротких замыканиях и обрывах проводов, а также при различных импульсных воздействиях на цепь, например при грозовых разрядах.

Установившиеся значения напряжений и токов характеризуют установившийся режим цепи и могут оставаться неизменными бесконечно долго, причем эти значения задаются источниками электрической энергии.

При анализе и расчете переходных процессов будем считать, что переходные процессы возникают при включении или отключении элементов цепи посредством ключей, причем эта коммутация происходит мгновенно быстро в момент времени  $t = 0$ , при времени  $t = \infty$  переходный процесс теоретически заканчивается и наступает новый установившийся режим. Время  $t < 0$  характеризует режим цепи до коммутации, момент времени  $t = 0$  – соответствует последнему моменту перед коммутацией.



Момент времени  $t = 0_+$  соответствует первому моменту времени после коммутации. Скачок – это мгновенное изменение напряжения или тока при  $t = 0_+$ .

Анализ и расчет переходных процессов в электроэнергетике осуществляется с целью определения влияния параметров цепи на длительность переходного процесса, что необходимо для различных технологических циклов.

**Коммутация** – это процесс замыкания и размыкания выключателей. Переходные процессы обычно являются быстропротекающими, длительность их составляет десятые, сотые, а иногда даже миллиарные доли секунд. Сравнительно редко длительность переходных процессов достигает секунд и десятков секунд.

Физически переходные процессы представляют собой процессы перехода электрической системы от одного энергетического состояния к другому, т.е. это процесс перераспределения энергии между элементами цепи.

Переходные процессы обусловлены наличием реактивных элементов (L и C).

## 1.2 Законы коммутации

В электрической цепи не может быть мгновенного изменения накопленной в электрических и магнитных полях энергии:

$$W(0_-) = W(0_+) = W(0),$$

так как энергия электрического поля конденсатора и энергия магнитного поля индуктивной катушки равны соответственно:

$$W_C = C \frac{u_C^2}{2}, \quad W_L = L \frac{i_L^2}{2}.$$

При мгновенном изменении этих величин потребовалась бы бесконечно большая мощность, т.к.

$$P_C = \frac{dW_C}{dt}, \quad P_L = \frac{W_L}{dt};$$

Это означает, что в момент коммутации остаются неизменными напряжения на обкладках конденсатора и токи в индуктивных катушках. Для перераспределения энергии требуется время — это процесс инерционный, не мгновенный.

**Поэтому существуют два закона коммутации.**

**Первый закон коммутации:** ток через индуктивность до коммутации  $i_L(0_-)$  равен току через индуктивность после коммутации  $i_L(0_+)$  или **ток индуктивности не может изменяться скачком:**

$$i_L(0_-) = i_L(0_+) = i_L(0).$$

**Второй закон коммутации:** напряжение на ёмкости до коммутации  $u_C(0_-)$  равно напряжению на ёмкости после коммутации  $u_C(0_+)$ , или **напряжение на ёмкости не может изменяться скачком:**

$$u_C(0_-) = u_C(0_+) = u_C(0).$$

Это есть **независимые начальные условия**. Независимыми они называются потому, что, независимо от того, до или после коммутации мы их наблюдаем, они всё равно одинаковы и равны, и поэтому знаки « $-$ » и « $+$ » в выражениях первого и второго закона коммутации опускают.

Все остальные напряжения и токи электрической цепи в первый момент после коммутации при  $t(0_+)$  называют **зависимыми начальными условиями** (ЗНУ).

Токи и напряжения после завершения переходного процесса при  $t = \infty$  называют **принуждёнными составляющими**.

### 1.3 Пример расчета

Дано:

$E = 100 \text{ В}$ ;

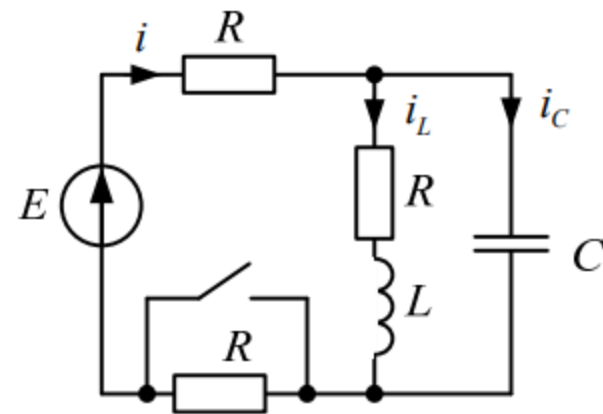
$L = 1 \text{ Гн}$ ;

$R = 100 \Omega$ .

**Определить:**

начальные условия

и принуждённые составляющие.



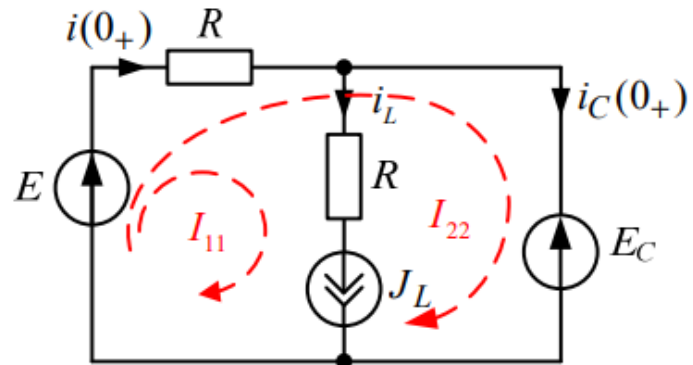
Определяем независимые начальные условия (**ННУ**) в схеме [до коммутации](#). Так как при постоянном источнике конденсатор представляет собой разрыв, а катушка становится закороткой, то

$$i_L(0_-) = \frac{E}{3R} = 1 \text{ A};$$

$$u_C(0_-) = i_L(0_-)R = 100 \text{ В}.$$

Определяем **зависимые начальные условия** (**ЗНУ**). Составляем схему для первого мгновения после коммутации при  $t(0_+)$ . По теореме компенсации заменим конденсатор источником напряжения, величина которого равна напряжению на конденсаторе до коммутации  $E_C = u_C(0_-)$ . Индуктивность заменим на источник тока величиной, равной  $J_L = i_L(0_-)$ . Ключ в схеме после коммутации изменяет своё положение на противоположное.

Сопротивление  $R$  закорачивается ключом, поэтому его из схемы можно исключить. Для расчёта токов используем метод контурных токов.



$$\begin{aligned} J_L &= i_L(0_-); \\ E_C &= u_C(0_-). \end{aligned}$$

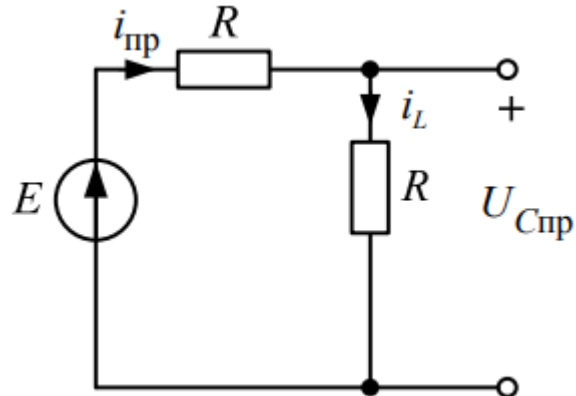
$$\begin{cases} I_{11} = J_L = 1 \text{ A}; \\ I_{22}R + I_{11}R = E - E_C. \end{cases}$$

$$I_{22} = \frac{E - E_C - I_{11}R}{R} = 1 \text{ A}; \quad i(0_+) = I_{11} + I_{22} = 2 \text{ A}; \quad i_C(0_+) = I_{22} = 1 \text{ A}.$$

$$E_C - u_L(0_+) = R \cdot i_L(0_+); \quad u_L(0_+) = E_C - R \cdot i_L(0_+) = 0.$$

**Определяем принуждённые составляющие.**

В установившемся режиме в схеме после коммутации, при  $t = \infty$ ,



$$\begin{aligned} i_{\text{пр}} &= i_{L\text{пр}} = \frac{E}{2R} = 1,5 \text{ A}; \\ u_{C\text{пр}} &= R \cdot i_{L\text{пр}} = 150 \text{ В}; \\ i_{C\text{пр}} &= 0; \\ u_{L\text{пр}} &= 0. \end{aligned}$$



## **План лекции:**

- 1.1 Классический метод расчёта переходных процессов;
- 1.2 Объединение реактивных элементов;
- 1.3 Линейная цепь первого порядка.

## 1.1 Классический метод расчёта переходных процессов

Метод используется для расчёта линейных цепей, которые характеризуются линейными дифференциальными уравнениями, составленными по законам Кирхгофа для мгновенных значений в цепи после коммутации:

$$a_n \cdot \frac{d^n f(t)}{dt^n} + a_{n-1} \cdot \frac{d^{n-1} f(t)}{dt^{n-1}} + a_1 \cdot \frac{df(t)}{dt} + a_0 \cdot f(t) = F(t), \quad (1.1)$$

где  $a_n, a_{n-1}, \dots, a_1, a_0$  – постоянные коэффициенты, определяемые параметрами ( $R, L, C$ ) и структурой цепи после коммутации.

Мы получили неоднородное дифференциальное уравнение первого порядка с постоянными коэффициентами. Общее решение такого уравнения записывается в виде суммы двух составляющих – общего решения однородного уравнения  $f_{\text{o.p.}}(t)$ .

И частного решения неоднородного уравнения  $f_{\text{ч.н.}}(t)$ :

$$f(t) = f_{\text{o.p.}}(t) + f_{\text{ч.н.}}(t) = f_{\text{пр.}}(t) + f_{\text{св.}}(t).$$

В электротехнике общее решение однородного уравнения  $f_{\text{o.p}}(t)$  - называют свободной составляющей  $i_{\text{св}}(t) = A \cdot e^{pt}$ ,

потому что эта составляющая не зависит от источника энергии – внешнего воздействия, т.е. она свободна от внешнего влияния и зависит от параметров цепи.

Частное решение неоднородного уравнения  $f_{\text{ч.н}}(t)$  в электротехнике называют принуждённой составляющей. Она зависит от источника энергии и полностью повторяет его функциональную зависимость от времени с неким коэффициентом пропорциональности. Например, если источник энергии постоянный, то принуждённая составляющая будет постоянной. Если источник энергии имеет синусоидальный вид, то и принуждённая составляющая будет иметь синусоидальный вид.

Характеристическое уравнение (1.2) получено из уравнения (1.1), путём замены производных высших порядков на  $p$ :

$$a_n p^n + a_{n-1} p^{n-1} + \dots + a_1 p + a_0 = 0, \quad (1.2)$$

где  $p$  – корень характеристического уравнения.

Корни уравнения определяются параметрами цепи. В зависимости от вида корней характеристического уравнения определяется вид свободной составляющей и тип переходного процесса:

Корни вещественные, отрицательные и кратные.

### ***Критический режим***

$$f_{\text{св}}(t) = (A_1 + A_2 t + \dots + A_n t^{n-1}) \cdot e^{pt}.$$

Корни вещественные отрицательные и неравные.

### ***Апериодический режим***

$$f_{\text{св}}(t) = A_1 e^{p_1 t} + A_2 e^{p_2 t} + \dots + A_n e^{p_n t}.$$

Корни комплексные попарно-сопряжённые с отрицательной вещественной частью. ***Колебательный режим***

$$p_{1,2} = -\delta_2 \pm j\omega_{\text{св}_2};$$

. . . . .

$$p_{n-1,n} = -\delta_n \pm j\omega_{\text{св}_n}.$$

$$f_{\text{св}}(t) = A_2 e^{-\delta_2 t} \cos(\omega_{\text{св}_2} t + \beta_2) + A_n e^{-\delta_n t} \cos(\omega_{\text{св}_n} t + \beta_n),$$

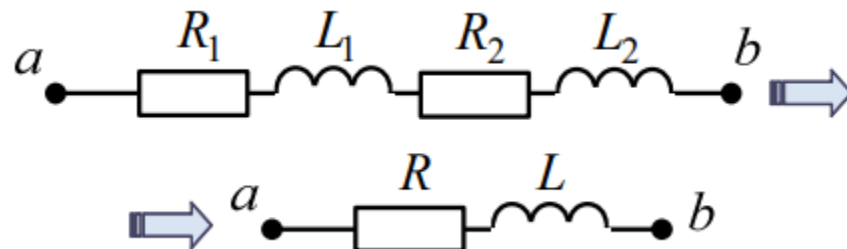
где  $A_1, A_2, \dots, A_n, \beta_2, \dots, \beta_n$  – постоянные интегрирования, определяемые начальными условиями;  $\delta_2, \dots, \delta_n$  – коэффициенты затухания свободных колебаний [1/c];  $\omega_{\text{св}}, \dots, \omega_{\text{св}n}$  – угловые частоты свободных колебаний (рад/сек).

## 1.2 Объединение реактивных элементов

В зависимости от количества необъединяемых реактивных элементов определяется **порядок цепи**. Цепь с одним реактивным элементом L или C называется цепью **первого порядка**, цепь с двумя необъединяемыми реактивными элементами – цепью **второго порядка** и т.д.

*Последовательное соединение*

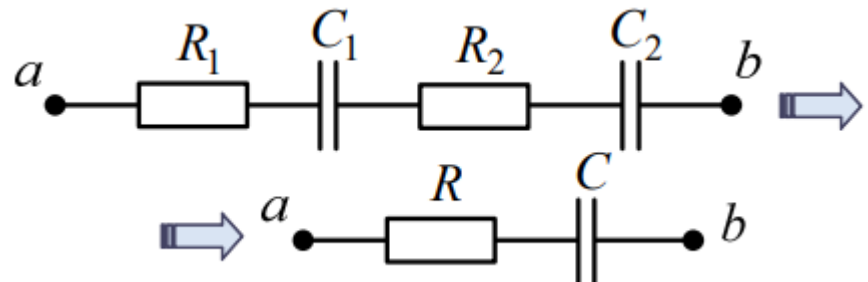
1) индуктивных элементов:



здесь  $R = R_1 + R_2$ ;  $L = L_1 + L_2$ ;

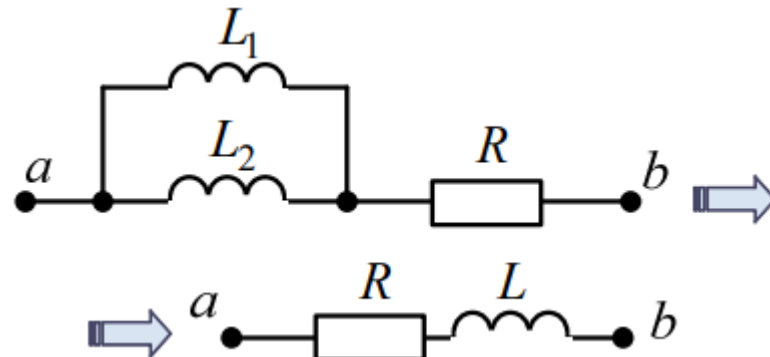
2) ёмкостей:

здесь  $R = R_1 + R_2$ ;  $C = \frac{C_1 \cdot C_2}{C_1 + C_2}$ .



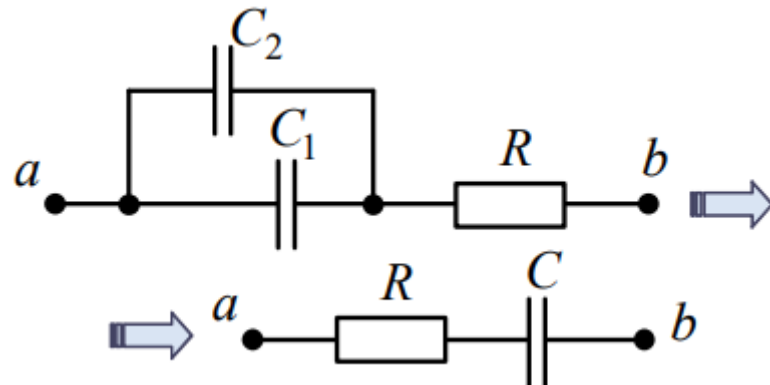
## Параллельное соединение

1) индуктивных элементов:



$$\text{здесь } R = R_1 + R_2; \quad L = \frac{L_1 \cdot L_2}{L_1 + L_2};$$

2) ёмкостей:



$$\text{здесь } R = R_1 + R_2; \quad C = C_1 + C_2.$$

## 1.3 Линейная цепь первого порядка

Цепь первого порядка содержит в послекоммутационной цепи только один реактивный элемент – L или C, характеризуется дифференциальным уравнением первого порядка:

$$a_1 \frac{df(t)}{dt} + a_0 f(t) = F(t), \quad (1.3)$$

где  $a_1, a_0$  – постоянные коэффициенты;  $f(t)$  – напряжение или ток переходного процесса;  $F(t)$  – функция, определяемая источниками после коммутации.

Характеристическое уравнение:  $a_1 p + a_0 = 0$ ,

где  $p = -\frac{a_0}{a_1} < 0$ ,  $\frac{1}{c}$  – корень характеристического уравнения.

Решение уравнения (1.3):  $f(t) = f_{\text{пр}}(t) + f_{\text{св}}(t) = f_{\text{пр}}(t) + A e^{pt}$ ,

где  $f_{\text{пр}}(t)$  – принуждённая составляющая;

$f_{\text{св}}(t) = A e^{pt}$  – свободная составляющая;

A – постоянная интегрирования.

## **План лекции:**

- 1.1 Классический метод расчета переходных процессов в цепях первого порядка с гармоническим источником;
- 1.2 Обобщенные законы коммутации.

# 1.1 Классический метод расчета переходных процессов в цепях первого порядка с гармоническим источником

Установившиеся режимы рассчитываются символическим методом.

**Порядок расчёта:**

1. Записываем решение в виде принужденной и свободной составляющих:  $i(t) = i_{\text{пр}}(t) + A e^{pt}$  или  $u(t) = u_{\text{пр}}(t) + B e^{pt}$ .

2. Определяем независимые начальные условия (**ННУ**) в цепи до коммутации:  $\dot{i}_L(0_-) \rightarrow i_L(0_-)$  или  $\dot{U}_C(0_-) \rightarrow u_C(0_-)$ .

3. ЗНУ. Определяем искомую величину при  $t(0_+) = i(0_+) +$  или  $u(0_+)$ .

4. Определяем принужденную составляющую в схеме после коммутации:  $\dot{i}_{\text{пр}} \rightarrow i_{\text{пр}}(t) \rightarrow i_{\text{пр}}(0)$  или  $\dot{U}_{\text{пр}} \rightarrow u_{\text{пр}}(t) \rightarrow u_{\text{пр}}(0)$ .

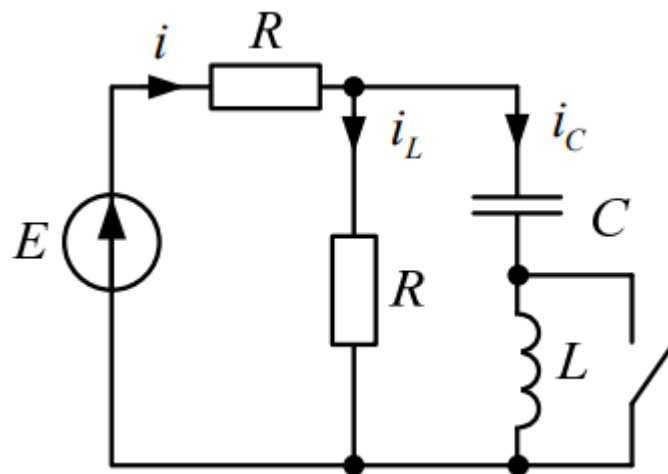
5. Определяем корень характеристического уравнения  $p$  через входное сопротивление  $Z(p) = 0$ , в схеме после коммутации.

6. Определяем постоянную интегрирования из начальных условий:

$$A = i(0_+) - i_{\text{пр}}(0) \text{ или } B = u(0_+) - u_{\text{пр}}(0).$$

7. Записываем окончательное решение и строим график.

## Пример расчета переходных процессов в цепях первого порядка с гармоническим источником:



**Дано:**

$$e = 100\sqrt{2} \sin(100t + 45^\circ), \text{ В};$$

$$R = 100 \text{ Ом};$$

$$L = 1 \text{ Гн};$$

$$C = 100 \text{ мкФ}.$$

**Определить:**  $i(t)$

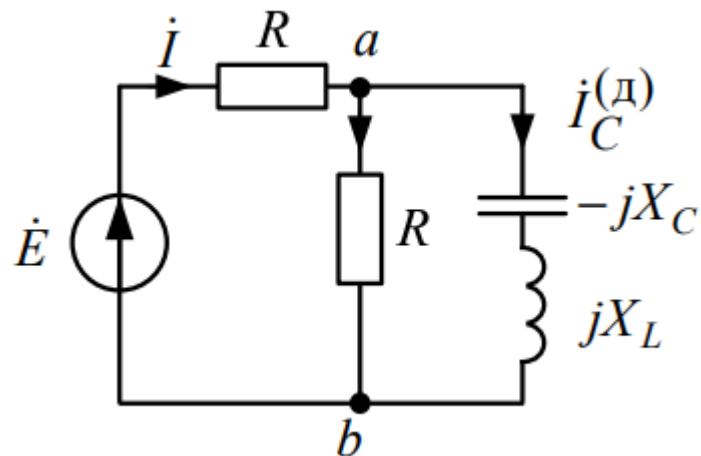
1. ННУ. Определяем независимые начальные условия в цепи до коммутации:

$$\dot{I}_L(0_-) \rightarrow i_L(0_-) \text{ или } \dot{U}_C(0_-) \rightarrow u_C(0_-);$$

$$\dot{E} = 100e^{j45^\circ} \text{ В}; \quad X_L = \omega L = 100 \text{ Ом}; \quad X_C = \frac{1}{\omega C} = 100 \text{ Ом},$$

т.к.  $Z_{ab}^{(\Delta)} = jX_L - jX_C = 0$  – резонанс напряжений.

$$\dot{I}^{(\Delta)} = \dot{I}_C^{(\Delta)} = \dot{I}_L^{(\Delta)} = \frac{\dot{E}}{R} = 1e^{j45^\circ} \text{ А};$$

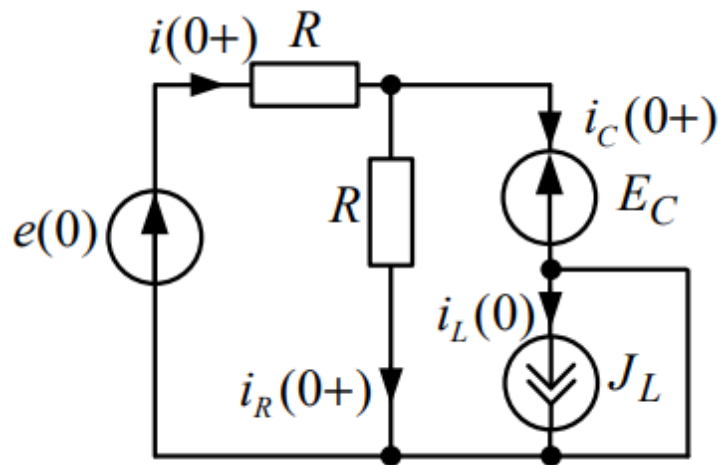


$$i_L(0_-) = \sqrt{2} \sin 45^\circ = 1 \text{ A};$$

$$\dot{U}_C^{(\Delta)} = (-jX_C)\dot{I}_C = 100e^{-j45^\circ} \text{ B};$$

$$u_C(0_-) = \sqrt{2} \cdot 100 \sin(-45^\circ) = -100 \text{ B}.$$

2. ЗНУ. Определяем искомую величину  $i(0_+)$  или  $u(0_+)$  при  $t(0_+)$ :



$$J_L = i_L(0_-); E_C = u_C(0_-).$$

$$e(0) = 100\sqrt{2} \sin(45^\circ) = 100 \text{ B};$$

$$u_L(0_+) = 0;$$

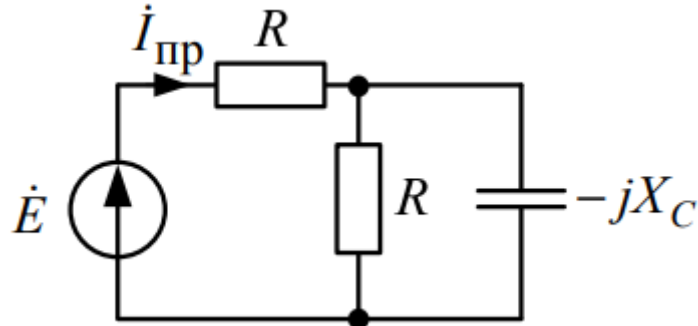
$$e(0) - E_C = R \cdot i(0_+);$$

$$i(0_+) = \frac{e(0) - E_C}{R} = 2 \text{ A}.$$

3. Определяем принужденную составляющую в схеме после коммутации:

$$\dot{I}_{\text{пр}} \rightarrow i_{\text{пр}}(t) \rightarrow i_{\text{пр}}(0) \text{ или } \dot{U}_{\text{пр}} \rightarrow u_{\text{пр}}(t) \rightarrow u_{\text{пр}}(0).$$

Схема после коммутации, установившийся режим, гармонический источник, символьический метод:



$$\underline{Z}^{(\text{п})} = R + \frac{R(-jX_C)}{R - jX_C} = 158e^{-j18,4^\circ} \text{ Ом};$$

$$\dot{I}_{\text{пр}} = \frac{\dot{E}}{\underline{Z}^{(\text{п})}} = 0,63e^{j63,4^\circ} \text{ А};$$

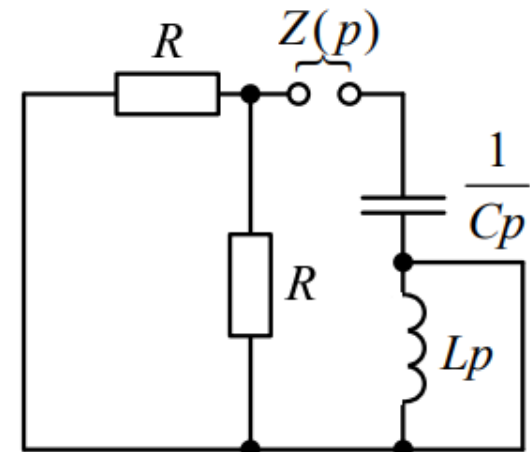
$$i_{\text{пр}}(t) = \sqrt{2} \cdot 0,63 \sin(100t + 63,4^\circ), \text{ А};$$

$$i_{\text{пр}}(0) = \sqrt{2} \cdot 0,63 \sin 63,4^\circ = 0,8 \text{ А}.$$

4. Определяем корень характеристического уравнения  $p$  через входное сопротивление  $Z(p) = 0$  в схеме после коммутации:

$$Z(p) = \frac{R}{2} + \frac{1}{Cp} = 0;$$

$$p = -\frac{2}{RC} = -200 \frac{1}{\text{с}}.$$

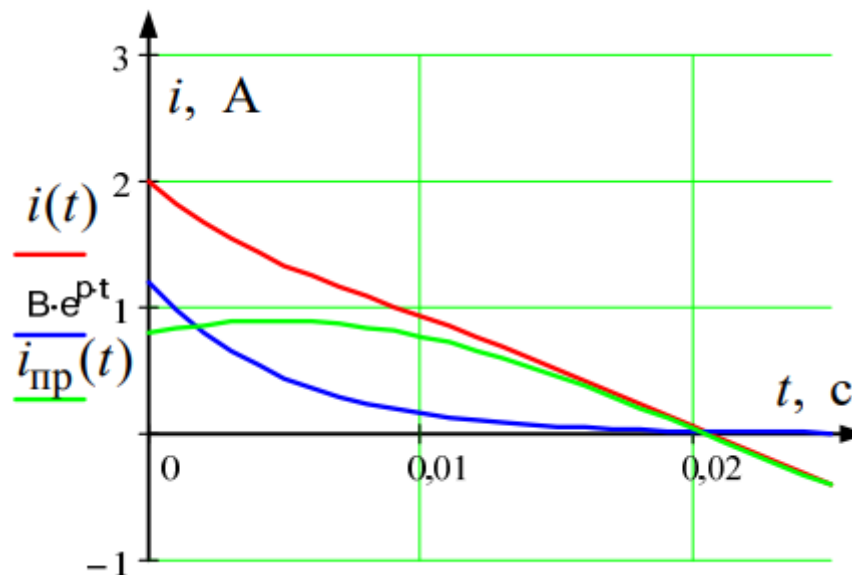


5. Определяем постоянную интегрирования из начальных условий:

$$A = i(0_+) - i_{\text{пр}}(0) = 2 - 0,794 = 1,2 \text{ A}.$$

6. Записываем окончательное решение и строим график:

$$i(t) = \sqrt{2} \cdot 0,63 \sin(100t + 63,4^\circ) + 1,2e^{-200t}, \text{ A};$$



$$\tau = \frac{1}{|p|} = 5 \cdot 10^{-3} \text{ c};$$

$$t_{\Pi} = 5\tau = 2,5 \cdot 10^{-2} \text{ c};$$

$$T = \frac{2\pi}{\omega} = 6,28 \cdot 10^{-2} \text{ c}.$$

## 1.2 Обобщенные законы коммутации

В переходных режимах может наблюдаться быстрая начальная импульсная часть переходного процесса, которая для упрощения анализа принимается приближенно происходящей мгновенно (скачком).

При этом законы коммутации будут нарушаться, поэтому в этих случаях используются обобщенные законы коммутации:

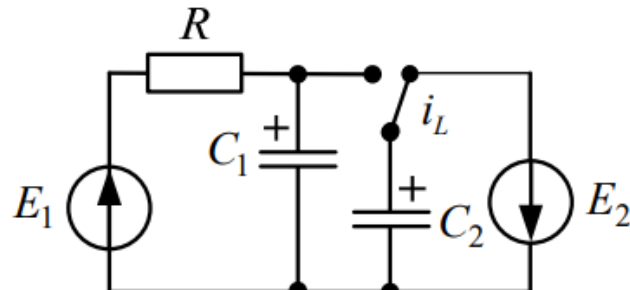
1. Для каждого контура, в который входят индуктивности, связанные в узел, имеем

$$\sum \Psi_k(0_+) = \sum \Psi_k(0_-) \text{ или } \sum L_k i_{L_k}(0_+) = \sum L_k i_{L_k}(0_-).$$

2. Для каждого из узлов контура, составленного из емкостей, имеем:

$$\sum q_k(0_+) = \sum q_k(0_-) \text{ или } \sum C_k u_{C_k}(0_+) = \sum C_k u_{C_k}(0_-).$$

Пример



Дано:

$$E_1 = E_2 = 100 \text{ В};$$
$$C_1 = 200 \text{ мкФ};$$
$$C_2 = 100 \text{ мкФ};$$
$$R = 100 \text{ Ом}.$$

Определить:  $u_{C_2}(t)$

1. Для схемы до коммутации определяем независимые начальные условия:

$$u_{C_1}(0_-) = E_1 = 100 \text{ В}; \quad u_{C_2}(0_-) = -E_2 = -100 \text{ В}.$$

Суммарный заряд:

$$\sum q_k(0_-) = C_1 u_{C_1}(0_-) + C_2 u_{C_2}(0_-) = 0,01 \text{ Кл.}$$

Суммарная энергия:

$$W_3(0_-) = \frac{C_1 \cdot u_{C_1}^2(0_-)}{2} + \frac{C_2 \cdot u_{C_2}^2(0_-)}{2} = 1,5 \text{ Дж.}$$

2. ЗНУ. Схема после коммутации, при  $t(0+)$ ,  $u_{C_1}(0_+) = u_{C_2}(0_+)$ ,

тогда  $\sum q_k(0_+) = C_1 u_{C_1}(0_+) + C_2 u_{C_2}(0_+) = (C_1 + C_2) \cdot u_{C_2}(0_+)$ ,

$$u_{C_2}(0_+) = \frac{\sum q_k(0_-)}{C_1 + C_2} = 33,333 \text{ В},$$

$$W_3(0_+) = \frac{C_1 \cdot u_{C_1}^2(0_+)}{2} + \frac{C_2 \cdot u_{C_2}^2(0_+)}{2} = 0,166 \text{ Дж.}$$

$$\sum q_k(0_+) = \sum q_k(0_-),$$

«Пропавшая» энергия  $\Delta W_3 = W_3(0_-) - W_3(0_+) = 1,334$  Дж, израсходована на потери в проводах, искру и излучение.

3. Определяем принужденную составляющую в схеме после коммутации:

$$u_{C2_{\text{пр}}} = u_{C1_{\text{пр}}} = E_1 = 100 \text{ В.}$$

4. Определяем корень характеристического уравнения  $p$ :

$$Z(p) = R + \frac{1}{p(C_1 + C_2)} = 0;$$

$$p = -\frac{1}{R(C_1 + C_2)} = -33,333 \frac{1}{\text{с}}.$$

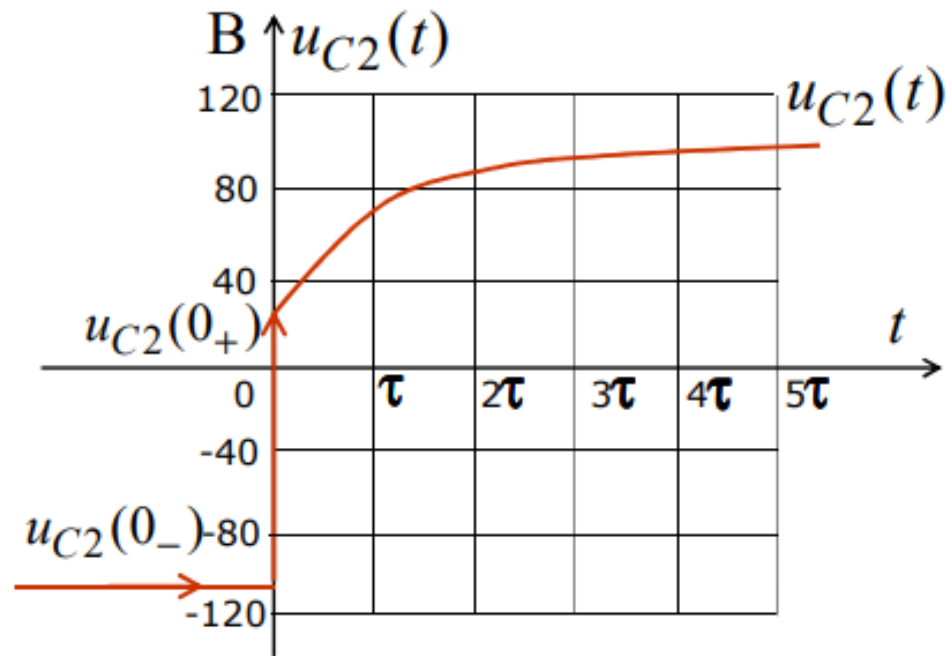
5. Определяем постоянную интегрирования:

$$B = u_{C2}(0_+) - u_{C2_{\text{пр}}} = -66,666 \text{ В.}$$

6. Записываем окончательный результат:

$$u_{C2}(t) = u_{C2_{\text{пр}}} + Be^{pt} = 100 - 66,666e^{-33,333t}, \text{ В;}$$

$$\tau = \frac{1}{|p|} = 0,03 \text{ с}, \quad t_{\Pi} = 5\tau = 0,15 \text{ с.}$$



Переходной процесс напряжения на конденсаторе  $u_{C2}(t)$  во времени  $t$ , после коммутации в электрической цепи

## **План лекции:**

- 1.1 Расчет переходных процессов в цепях 2-го порядка классическим методом;
- 1.2 Пример расчета переходных процессов в цепях 2-го порядка классическим методом.

## 1.1 Расчет переходных процессов в цепях 2-го порядка классическим методом

Цепь 2-го порядка после коммутации:

содержит

- L и C;
- или две L;
- или две C;

характеризуется уравнениями:

$$a_2 \frac{d^2 f(t)}{dt^2} + a_1 \frac{df(t)}{dt} + a_0 f(t) = F(t);$$

$$f(t) = f_{\text{пр}}(t) + f_{\text{св}}(t),$$

где  $f(t)$  – напряжение или ток переходного процесса;  $a_0, a_1, a_2$ , – постоянные коэффициенты;  $F(t)$  – функция, определяемая источниками после коммутации;  $f_{\text{пр}}$ , и  $f_{\text{св}}$  – принужденная и свободная составляющие.

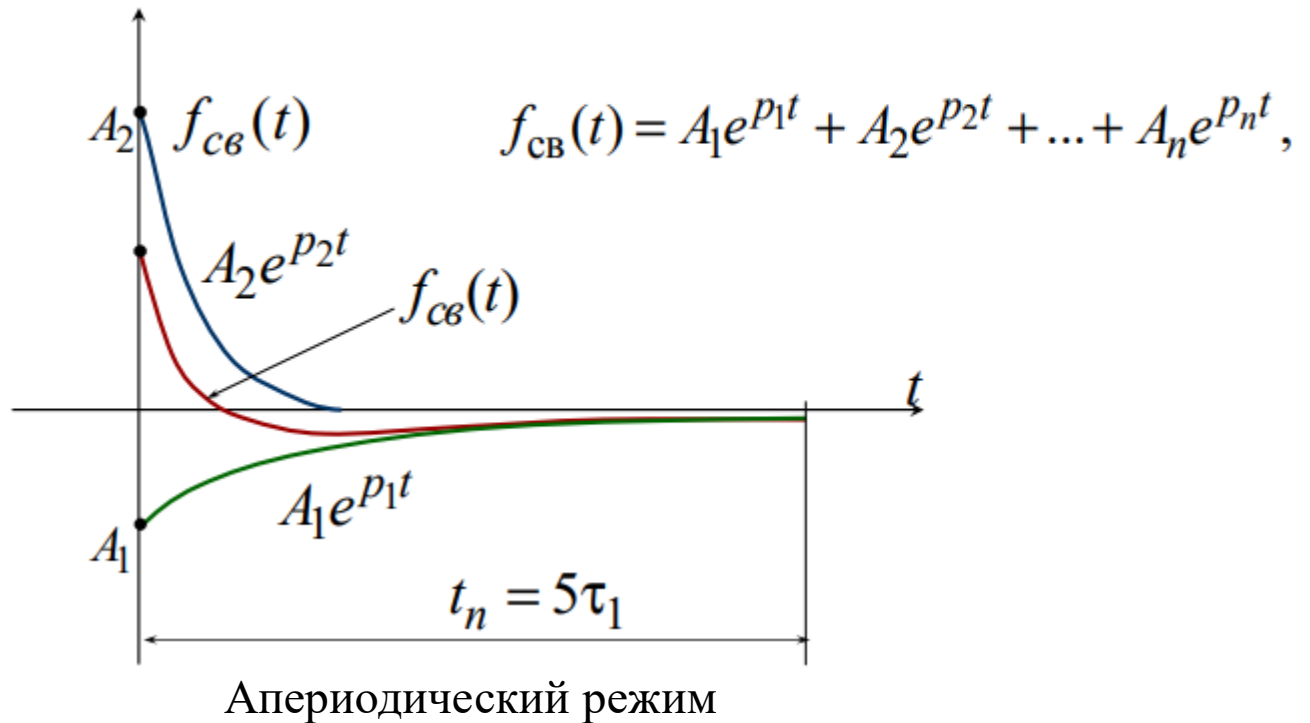
Характеристическое уравнение:  $-a_2 p^2 + a_1 p + a_0 = 0$ .

Корни характеристического уравнения:

$$p_{1,2} = -\frac{a_1}{2a_2} \pm \sqrt{\frac{a_1^2}{4a_2^2} - \frac{a_0}{a_2}}.$$

В зависимости от корней характеристического уравнения возможны следующие виды переходных процессов:

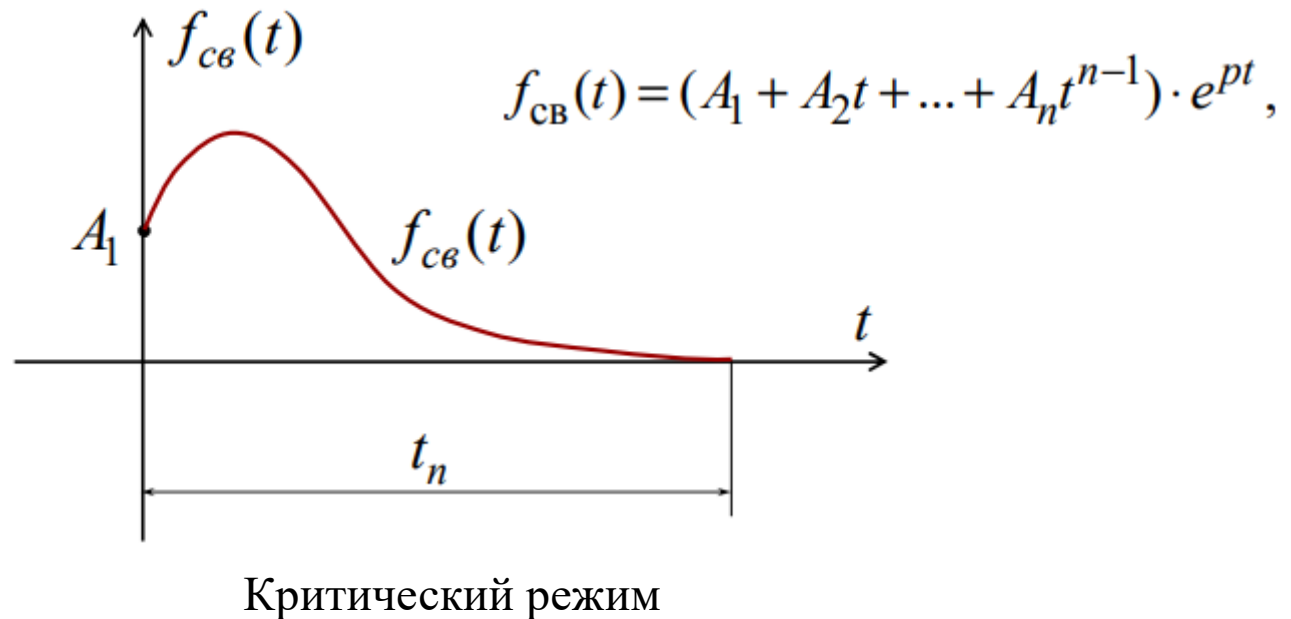
Если  $\frac{a_1^2}{4a_2^2} > \frac{a_0}{a_2}$ , корни – вещественные, отрицательные и разные.



$$\tau_1 = \frac{1}{|p_1|}, \quad \tau_2 = \frac{1}{|p_2|} \quad - \text{постоянныe времени;}$$

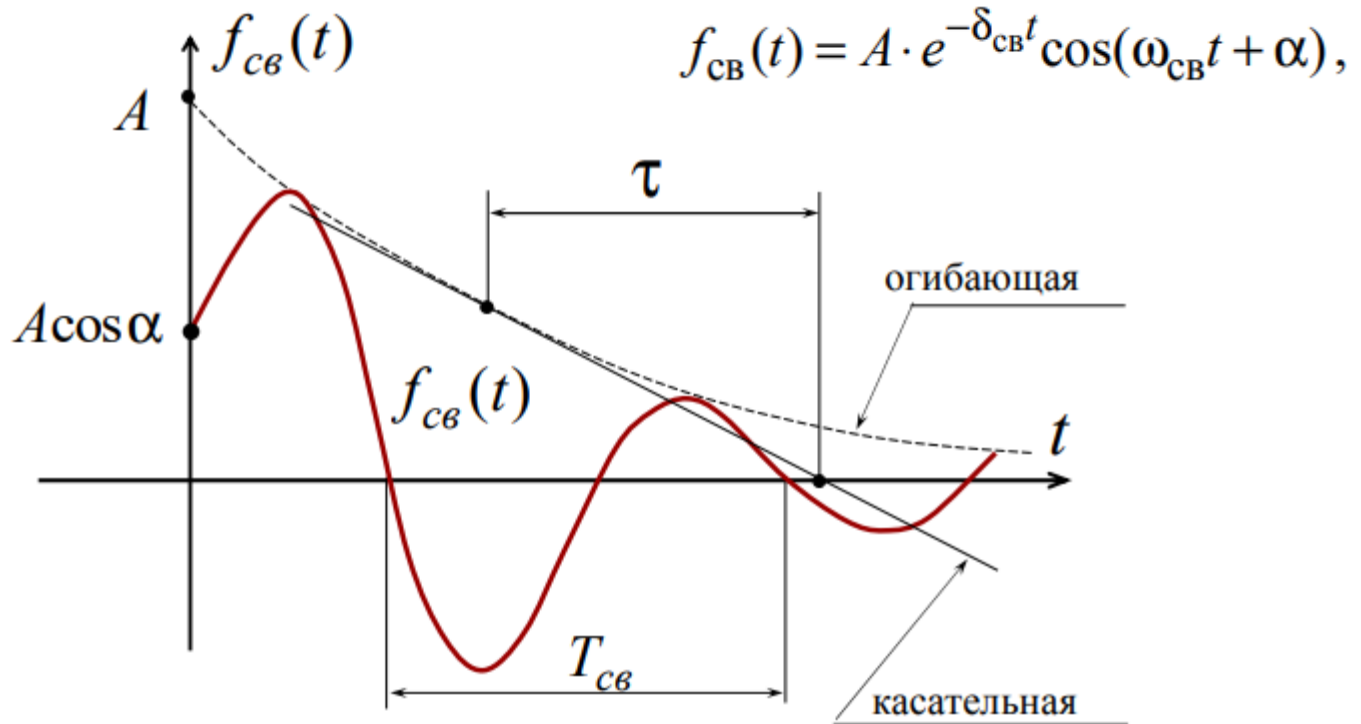
$t_{\Pi} = 5 \cdot \max(\tau_{1,2})$  – длительность переходного процесса.

Если  $\frac{a_1^2}{4a_2^2} = \frac{a_0}{a_2}$ , корни – вещественные, отрицательные и равные:



$$p = p_1 = p_2 = -\frac{a_1}{2a_2}; \quad t_{\Pi} = \frac{5}{|p|} \quad - \text{длительность переходного процесса.}$$

Если  $\frac{a_1^2}{4a_2^2} = \frac{a_0}{a_2}$ , корни – комплексно-сопряжённые, с отрицательной вещественной частью:



Колебательный режим, или периодический режим

где  $p_{1,2} = -\delta_{\text{св}} \pm j\omega_{\text{св}}$  ;  $\delta_{\text{св}} = \frac{a_1}{2a_2} \left( \frac{1}{c} \right)$  – коэффициент затухания свободных колебаний;

## 1.2 Пример расчета переходных процессов в цепях 2-го порядка классическим методом

**Дано:**

$$E = 100 \text{ В};$$

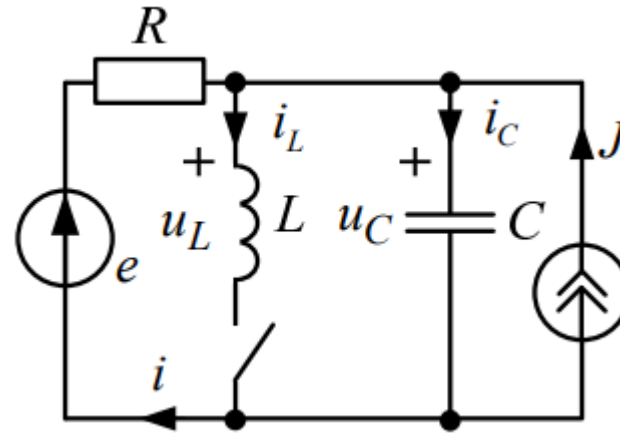
$$J = 2 \text{ А};$$

$$L = 6,25 \text{ Гн};$$

$$C = 100 \text{ мкФ};$$

$$R = 100 \text{ Ом}.$$

**Определить:**  $i(t)$



Для схемы после коммутации по законам Кирхгофа составляем уравнения:

$$-i - J + i_L + i_C = 0;$$

$$u_C = u_L = L \frac{di_L}{dt};$$

$$e = R \cdot i + u_C,$$

причём

$$i_C = C \frac{du_C}{dt}.$$

$$i_C = C \frac{du_C}{dt} = C \frac{d(e - R \cdot i)}{dt} = C \frac{de}{dt} - R \cdot C \frac{di}{dt}.$$

$$i_L = \frac{1}{L} \int u_L dt = \frac{1}{L} \int u_C dt = \frac{1}{L} \int (e - R \cdot i) dt.$$

$$-i - J + \frac{1}{L} \int (e - R \cdot i) dt + C \frac{de}{dt} - R \cdot C \frac{di}{dt} = 0.$$

$$-\frac{di}{dt} - \frac{dJ}{dt} + \frac{e}{L} - \frac{R}{L} \cdot i + C \frac{d^2 e}{dt^2} - R \cdot C \frac{d^2 i}{dt^2} = 0.$$

В результате:

$$R \cdot C \frac{d^2 i}{dt^2} + \frac{di}{dt} + \frac{R}{L} i = \frac{e}{L} + C \frac{d^2 e}{dt^2} - \frac{dJ}{dt},$$

$$F(t) = \frac{e}{L} + C \frac{d^2 e}{dt^2} - \frac{dJ}{dt},$$

$$\text{где } a_2 = R \cdot C; a_1 = 1; a_0 = \frac{R}{L}.$$

Решение уравнения  $i(t) = i_{\text{пр}}(t) + i_{\text{св}}(t)$ .

Так как  $e = 100 = \text{const}_1$ ,  $J = 2 = \text{const}_2$ , то  $i_{\text{пр}}(t) = I_{\text{пр}} = \text{const}_3$ .

Подставим  $I_{\text{пр}}$ :

$$RC \frac{d^2 I_{\text{пр}}}{dt^2} + \frac{dI_{\text{пр}}}{dt} + \frac{R}{L} I_{\text{пр}} = \frac{e}{L} + C \frac{d^2 e}{dt^2} - \frac{dJ}{dt} .$$

$\cancel{0}$        $\cancel{0}$        $\cancel{0}$        $\cancel{0}$

Тогда  $I_{\text{пр}} = \frac{e}{R} = 1$ ;  $i_{\text{пр}}(t) = I_{\text{пр}}$

Можно также найти из расчета установившегося режима после коммутации ( $t = \infty$ ). По второму закону Кирхгофа:

$$e = R \cdot I_{\text{пр}}, \quad I_{\text{пр}} = \frac{e}{R} = 1 \text{ A.}$$

Характеристическое уравнение –  $RCp^2 + p + \frac{R}{L} = 0$ ;

$$p_{1,2} = -\frac{1}{2RC} \pm \sqrt{\frac{1}{4R^2C^2} - \frac{1}{LC}}, \quad p_1 = -20 \left(\frac{1}{\text{с}}\right), \quad p_2 = -80 \left(\frac{1}{\text{с}}\right)$$

- апериодический переходный процесс.

$Z(p) = 0$  после коммутации:  $Z(p) = \frac{1}{pC} + \frac{pL \cdot R}{pL + R} = 0,$

При апериодическом переходном процессе  $i_{\text{cb}}(t) = A_1 e^{p_1 t} + A_2 e^{p_2 t},$

тогда  $i(t) = i_{\text{пр}}(t) + i_{\text{cb}}(t) = 1 + A_1 e^{-20t} + A_2 e^{-80t}.$

Для определения  $A_1$  и  $A_2$  найдем  $i(0_+)$  и  $\left. \frac{di(t)}{dt} \right|_{t=0_+}$  – это зависимые начальные условия.

Определяем независимые начальные условия:  $i_L(0_-)$  и  $u_C(0_-):$

$$i_L(0_-) = 0;$$

$$u_C(0_-) = e + RJ = 300 \text{ B},$$

$$i(0_-) = -J = -2 \text{ A.}$$

Схема после коммутации при  $t = 0_+$ :

$$J_L = i_L(0_-) = i_L(0_+) = 0;$$

$$E_C = u_C(0_-) = u_C(0_+) = 300 \text{ В.}$$

По второму закону Кирхгофа:  $e - E_C = R \cdot i(0_+)$ ,

тогда  $i(0_+) = \frac{e - E_C}{R} = -2 \text{ A.}$

Для определения  $\left. \frac{di(t)}{dt} \right|_{t=0_+}$  используем уравнение  $e = R \cdot i(t) + u_C$ ,

которое продифференцируем:  $\cancel{\frac{de}{dt}} = R \frac{di(t)}{dt} + \frac{du_C}{dt} = R \frac{di(t)}{dt} + \frac{i_C}{C}$ ,  
0

т.е.  $\left. \frac{di(t)}{dt} \right|_{t=0_+} = -\frac{i_C(0_+)}{RC};$

$i_C(0_+)$  найдем по первому закону Кирхгофа:  $-i(0_+) - J + J_L + i_C(0_+) = 0$ ;

$$i_C(0_+) = i(0_+) + J - J_L = -2 + 2 - 0 = 0, \text{ тогда } \left. \frac{di(t)}{dt} \right|_{t=0_+} = 0 \left( \frac{\text{A}}{\text{c}} \right).$$

Таким образом

$$i(t) = 1 + A_1 e^{-20t} + A_2 e^{-80t}; \quad \frac{di(t)}{dt} = -20A_1 e^{-20t} - 80A_2 e^{-80t}.$$

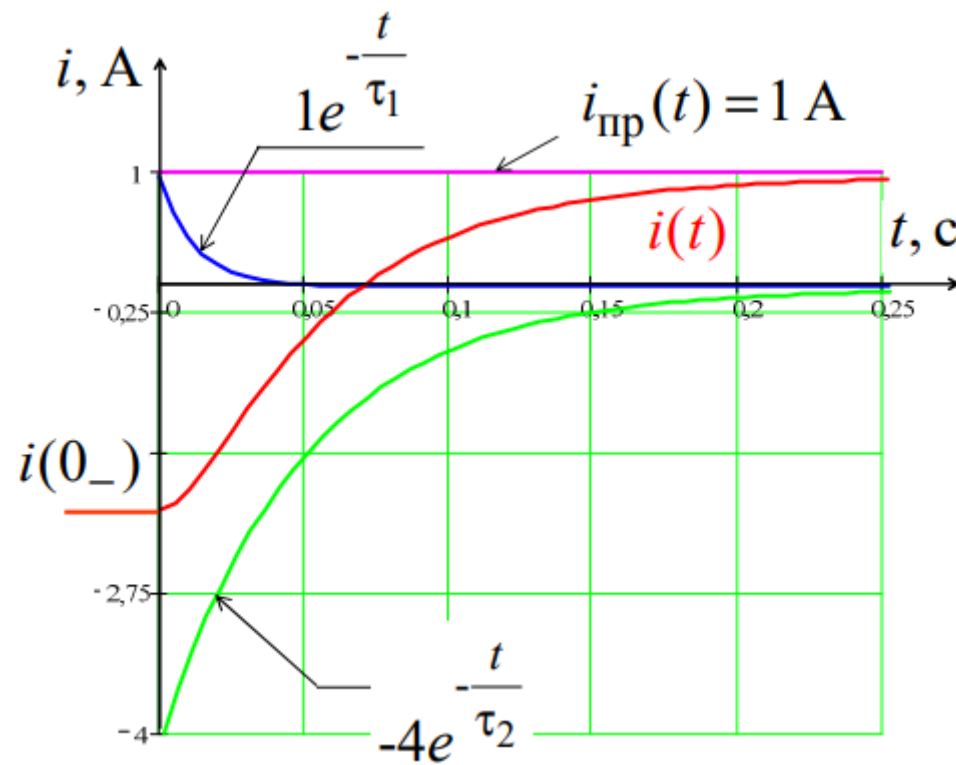
$$\text{Или, при } t = 0_+ \quad \begin{cases} i(0_+) = 1 + A_1 + A_2 = -2; \\ \left. \frac{di(t)}{dt} \right|_{t=0_+} = -20A_1 - 80A_2 = 0; \end{cases} \rightarrow \begin{cases} A_1 = -4 \text{ (A)}; \\ A_2 = 1 \text{ (A)}. \end{cases}$$

Окончательный результат  $i(t) = 1 - 4e^{-20t} + 1e^{-80t}$ , А;

$$\tau_1 = \frac{1}{20} = 5 \cdot 10^{-2} \text{ с};$$

$$\tau_2 = \frac{1}{80} = 1,25 \cdot 10^{-2} \text{ с};$$

$$t_{\Pi} = 5 \max(\tau_{1,2}) = 5 \cdot \tau_1 = 25 \cdot 10^{-2} \text{ с.}$$



Полученный результат

## **План лекции:**

- 1.1 Операторный метод расчёта переходных процессов;
- 1.2 Законы Ома и Кирхгофа в операторной форме.

## 1.1 Операторный метод расчёта переходных процессов

**Операторный метод** (преобразование Лапласа) расчета переходных процессов используется для того, чтобы обыкновенные дифференциальные уравнения с постоянными коэффициентами (в пространстве оригиналов) преобразовать в алгебраические (в пространстве изображений). Очевидно, что алгебраические уравнения решаются проще. После решения алгебраического уравнения над полученной функцией (изображением) производится обратное преобразование Лапласа, получается оригинал. Полученный оригинал – это функция, которая и будет решением дифференциального уравнения.

Любой функции можно сопоставить её преобразование Лапласа:

$$F(p) = \int_0^{\infty} f(t)e^{-pt} dt,$$

где  $F(p)$  – изображение;  $f(t)$  – оригинал.

Приведём изображение нескольких часто встречающихся функций.

Определим изображение константы  $f(t) = A(\text{const})$ :

$$F(p) = A \int_0^{\infty} e^{-pt} dt = -\frac{e^{-pt}}{p} \Big|_0^{\infty} = \frac{A}{p}.$$

Найдем изображение экспоненциальной функции  $f(t) = e^{\alpha t}$ :

$$F(p) = A \int_0^\infty e^{\alpha t} e^{-pt} dt = -\frac{e^{-(p-\alpha)t}}{p-\alpha} \Big|_0^\infty = \frac{1}{p-\alpha}.$$

Изображение экспоненциальной функции поможет нам найти изображения синусоидальной косинусной функции  $\sin(\omega t)$ ,  $\cos(\omega t)$ . Для этого запишем эти функции через формулу Эйлера. Далее осуществляем следующую цепочку преобразований:

$$\sin(\omega t) = \frac{e^{j\omega t} - e^{-j\omega t}}{2j} \rightarrow \frac{1}{2j} \left( \frac{1}{p-j\omega} - \frac{1}{p+j\omega} \right) =$$

$$= \frac{1}{2j} \left( \frac{p+j\omega - p-j\omega}{p^2 + \omega^2} \right) = \frac{\omega}{p^2 + \omega^2};$$

$$\cos(\omega t) = \frac{e^{j\omega t} + e^{-j\omega t}}{2} \rightarrow \frac{1}{2} \left( \frac{1}{p-j\omega} + \frac{1}{p+j\omega} \right) =$$

$$= \frac{1}{2} \left( \frac{p+j\omega + p-j\omega}{p^2 + \omega^2} \right) = \frac{p}{p^2 + \omega^2}.$$

Определим изображение производной  $\frac{df(t)}{dt}$  функции  $f(t)$ , имеющей изображение  $F(p)$ :

$$\int_0^\infty \frac{df(t)}{dt} e^{-pt} dt = \int_0^\infty e^{-pt} df(t) = f(t)e^{-pt} \Big|_0^\infty + p \int_0^\infty f(t)e^{-pt} dt = -f(0) + pF(p).$$

И наконец, определим изображение интегрального выражения  $\int_0^t f(t)dt$ :

$$\begin{aligned} \int_0^\infty \left( \int_0^t f(t') dt' \right) e^{-pt} dt &= -\frac{1}{p} \int_0^\infty \left( \int_0^t f(t') dt' \right) d(e^{-pt}) = \\ &= -\frac{e^{-pt} \int_0^t f(t') dt'}{p} \Big|_0^\infty + \frac{\int_0^t f(t) e^{-pt} dt'}{p} = \frac{F(p)}{p}. \end{aligned}$$

Эта формула относится к **преобразованию Лапласа**, одному из важнейших инструментов в математике и инженерных науках, особенно в теории управления, радиотехнике, решении дифференциальных уравнений и т.д.

Формула показывает преобразование Лапласа от интеграла функции:

$$\mathcal{L} \left\{ \int_0^t f(t') dt' \right\} = \frac{F(p)}{p}$$

## Таблица преобразований Лапласа

$f(t)$ -оригинал	$F(p)$ -изображение
1	$1/p$
$e^{\alpha t}$	$1/(p - \alpha)$
$e^{-\alpha t}$	$1/(p + \alpha)$
$\sin(\omega t)$	$\omega / (p^2 - \omega^2)$
$\cos(\omega t)$	$p / (p^2 + \omega^2)$
$df(t)/dt$	$-f(0) + pF(p)$
$\int_0^t f(t)dt$	$\frac{F(p)}{p}$

Для определения оригинала  $f(t)$  используется обратное преобразование Лапласа

$$f(t) = \frac{1}{2\pi j} \int_{\delta-j\infty}^{\delta+j\infty} F(p) \cdot e^{pt} dp.$$

На основании обратного преобразования Лапласа получена **теорема разложения:**

Если  $F(p) = \frac{D(p)}{B(p)} = \frac{d_0 + d_1p + d_2p^2 + \dots + d_mp^m}{b_0 + b_1p + b_2p^2 + \dots + b_np^n}$ , причем:

- $m < n$ ;
- корни  $B(p) = 0$  различны;
- корни  $D(p) = 0$  и  $B(p) = 0$  различны,

тогда

$$f(t) = \sum_{k=1}^n \frac{D(p_k)}{B'(p_k)} \cdot e^{p_k t},$$

где  $p_k$  – корни  $B(p) = 0$ ;

$$B'(p_k) = \left. \frac{dB(p)}{dp} \right|_{p=p_k}.$$

### Пример

**Дано:** изображение  $F(p) = I(p) = \frac{p+10}{p^3 + 6p^2 + 8p} = \frac{D(p)}{B(p)}$  (Ac)

**Определить:** оригинал

Решение:  $B(p) = p^3 + 6p^2 + 8p = p(p^2 + 6p + 8) = 0$ ;

$$p_1 = 0; \quad p_2 = -2 \left( \text{✓}_{\text{c}} \right); \quad p_3 = -4 \left( \text{✓}_{\text{c}} \right);$$

$$B'(p) = 3p^2 + 12p + 8;$$

$$i(t) = \sum_{k=1}^{n=3} \frac{D(p_k)}{B'(p_k)} \cdot e^{p_k t};$$

$$i(t) = \frac{0+10}{3 \cdot 0^2 + 12 \cdot 0 + 8} \cdot e^{0t} + \frac{-2+10}{3 \cdot (-2)^2 + 12 \cdot (-2) + 8} \cdot e^{(-2)t} + \frac{-4+10}{3 \cdot (-4)^2 + 12 \cdot (-4) + 8} \cdot e^{(-4)t};$$

$$i(t) = 1,25 - 2e^{-2t} + 0,75e^{-4t}, \text{ A.}$$

## Пример

**Дано:** изображение  $F(p) = U(p) = \frac{2 \cdot 10^4 p + 2 \cdot 10^6}{p(p^2 + 200p + 2 \cdot 10^4)} = \frac{D(p)}{B(p)}$ , (Бс)

**Определить:** оригинал

Решение:

$$B(p) = p(p^2 + 200p + 2 \cdot 10^4) = 0;$$

$$p_1 = 0; \quad p_{2,3} = -100 \pm j100 \left( \frac{1}{\text{с}} \right);$$

$$B'(p) = (p^3 + 200p^2 + 2 \cdot 10^4 p)' = 3p^2 + 400p + 2 \cdot 10^4,$$

тогда

$$\begin{aligned} u(t) &= \sum_{k=1}^{n=3} \frac{D(p_k)}{B'(p_k)} \cdot e^{p_k t} = \frac{2 \cdot 10^4 \cdot 0 + 2 \cdot 10^6}{0^2 + 400 \cdot 0 + 2 \cdot 10^4} e^{0 \cdot t} + \\ &+ 2 \operatorname{Re} \left[ \frac{2 \cdot 10^4 \cdot p_2 + 2 \cdot 10^6}{3p_2^2 + 400p_2 + 2 \cdot 10^4} e^{p_2 t} \right] = 100 + 2 \operatorname{Re} \left[ 70,5 e^{-j135^\circ} e^{(-100+j100)t} \right] = \\ &= 100 + 2 \operatorname{Re} \left[ 70,5 e^{j(-135^\circ+100t)} e^{-100t} \right] = 100 + 141 e^{-100t} \cos(100t - 135^\circ), \text{ B.} \end{aligned}$$

## 1.2 Законы Ома и Кирхгофа в операторной форме

Для резистивного элемента: при  $I_R(p) = \int_0^\infty i_R(t)e^{-pt} dt,$

$$U_R(p) = \int_0^\infty u_R(t)e^{-pt} dt = R \int_0^\infty i_R(t)e^{-pt} dt;$$

$U_R(p) = R \cdot I_R(p)$  – закон Ома в операторной форме для резистивного элемента.

Для индуктивного элемента  $u_L(t) = L \frac{di_L}{dt} = L \cdot i'_L(t);$

$$I_L(p) = i_L(t), i'_L(t) = p \cdot I_L(p) - i_L(0_+);$$

$$U_L(p) = L \cdot [p \cdot I_L(p) - i_L(0_+)] \text{ или } U_L(p) = Z_L(p) \cdot I_L(p) - L \cdot i_L(0_+);$$

при  $Z_L(p) = pL$  и  $i_L(0_+) = 0$  получаем закон Ома в операторной форме для индуктивного элемента.

Для ёмкостного элемента:  $u_C(t) = u_C(0_+) + \frac{1}{C} \int_0^t i_C(t) dt.$

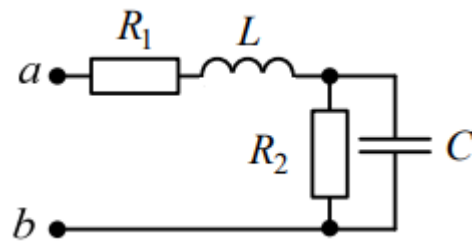
При  $I_C(p) = i_C(t), \int_0^t i_C(t) dt = \frac{I_C(p)}{p}$  имеем  $U_C(p) = \frac{u_C(0_+)}{p} + \frac{I_C(p)}{pC},$

или

$$U_C(p) = Z_C(p) \cdot I_C(p) + \frac{u_C(0_+)}{p}.$$

При  $Z_C(p) = 1/pC$  и  $u_C(0_+) = 0$  получаем закон Ома в операторной форме для емкостного элемента.

### Пример



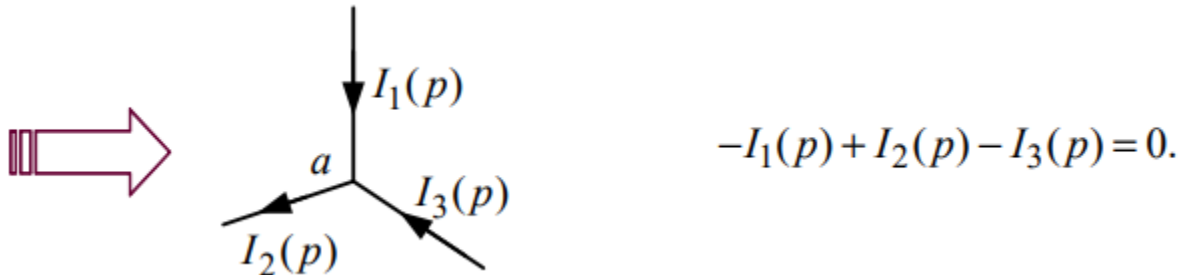
$$Z(p) = R_1 + pL + \frac{\frac{R_2}{pC}}{R_2 + \frac{1}{pC}}.$$

Первый закон Кирхгофа в операторной форме. Так как

$$\sum \pm i_k(t) = 0, \text{ то } \sum_0^{\infty} \pm \int i_k(t) e^{-pt} dt = 0;$$

$\sum \pm I_k(p) = 0$  – первый закон Кирхгофа в операторной форме



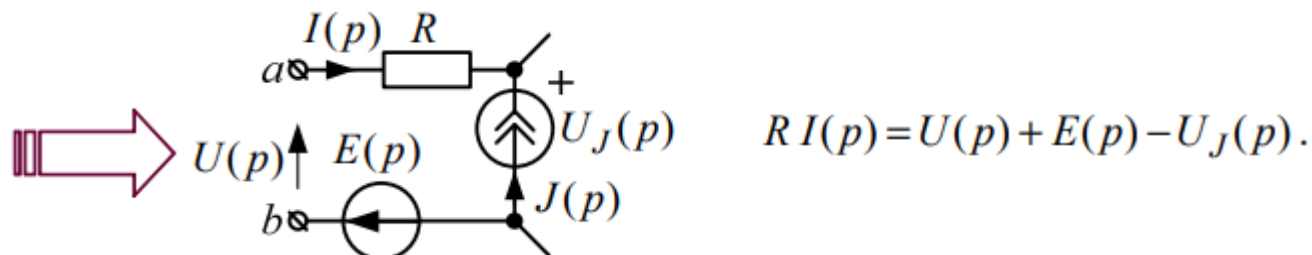
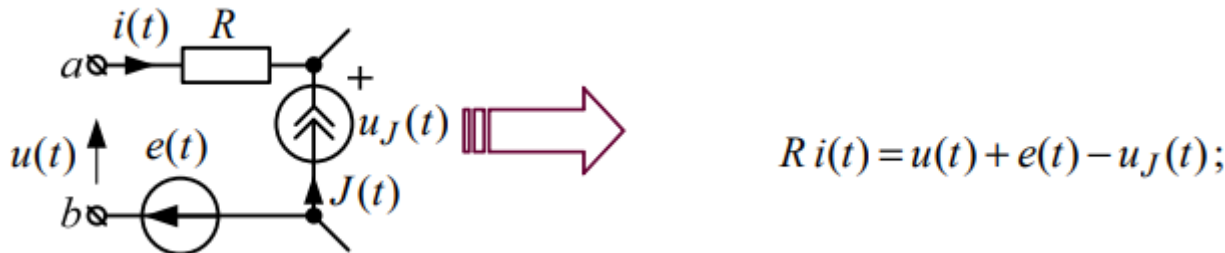


**Второй закон Кирхгофа** в операторной форме:

Так как  $\sum \pm u_n(t) = \sum \pm e_k(t) + \sum \pm u_{J_q}(t)$ ,

то  $\sum \pm \int_0^\infty u_n(t) e^{-pt} dt = \sum \pm \int_0^\infty e_k(t) e^{-pt} dt + \sum \pm \int_0^\infty u_{J_q}(t) e^{-pt} dt$ ,

или  $\sum \pm U_n(p) = \sum \pm E_k(p) + \sum \pm U_{J_q}(p)$  – второй закон Кирхгофа в операторной форме.



## **План лекции:**

- 1.1 Комбинированный операторно-классический метод расчета переходных процессов;
- 1.2 Метод переменных состояния.

# 1.1 Комбинированный операторно-классический метод расчета переходных процессов

**Цель метода** – упрощение операторных изображений искомых напряжений и токов.

**Сущность метода** – применение принципа наложения.

Принужденные составляющие находятся из расчета установившегося режима после коммутации, а свободные составляющие определяются из расчета операторной схемы (после коммутации).

Порядок расчета:

1. Определяются независимые начальные условия:

$$i_L(0_-) = i_L(0) \text{ и } u_C(0_-) = u_C(0).$$

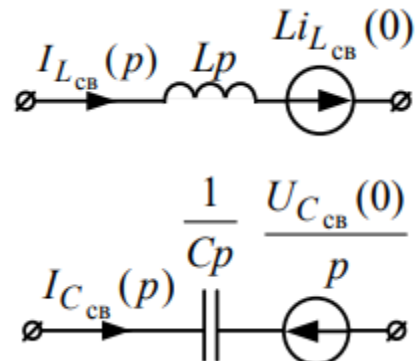
2. Определяются принужденные составляющие тока в индуктивности, напряжения емкости и искомых величин, например  $i_{\text{пр}}(t)$ .

3. Определяются значения свободных составляющих при  $t = 0$ :

$$i_{L_{\text{св}}}(0) = i_L(0) - i_{\text{пр}}(0);$$

$$u_{C_{\text{св}}}(0) = u_C(0) - u_{\text{пр}}(0).$$

4. Рассчитывается операторная схема после коммутации для свободных составляющих, где источники ЭДС закорочены, ветви с источниками тока разорваны, причем индуктивности и емкости изображаются так:



Находится операторное изображение свободной составляющей, например:

$$I_{CB}(p) = \frac{D(p)}{B(p)}.$$

5. По теореме разложения и принципу наложения находим:

$$i(t) = i_{\text{пр}}(t) + \underbrace{\sum_{k=1}^n \frac{D(p_k)}{B'(p_k)} e^{p_k t}}_{i_{CB}(t)}.$$

# Пример

Дано:

$$e(t) = 200 \sin(100t + 90^\circ), \text{ В};$$

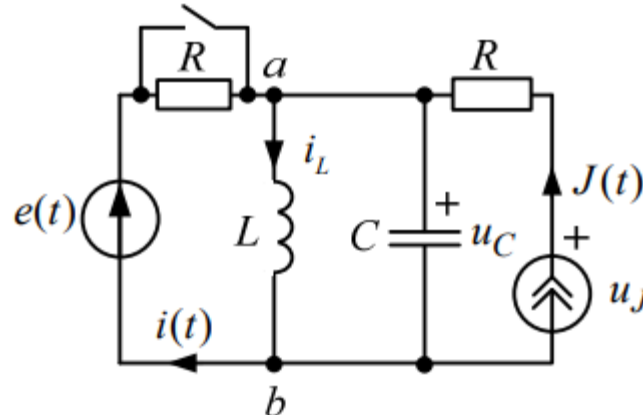
$$J(t) = 1 \sin 100t, \text{ А};$$

$$L = 1 \text{ Гн};$$

$$C = 100 \text{ мкФ};$$

$$R = 100 \text{ Ом}.$$

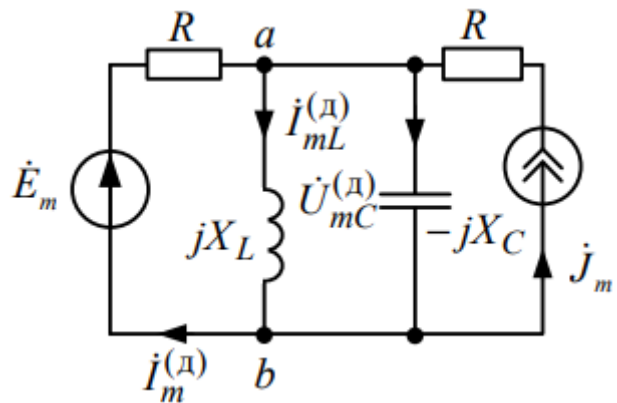
Определить:  $i(t)$ ,  $u_J(t)$



Решение:

1. Определяются независимые начальные условия:

$$i_L(0_-) = i_L(0) \text{ и } u_C(0_-) = u_C(0);$$



$$\dot{E}_m = 200e^{j90^\circ}, \text{ В};$$

$$j_m = 1e^{j0^\circ}, \text{ А};$$

$$X_L = \omega L = 100 \text{ Ом};$$

$$X_C = \frac{1}{\omega C} = 100 \text{ Ом.}$$

Так как  $Z_{ab} = \frac{jX_L(-jX_C)}{jX_L - jX_C} = \infty$ , то  $\dot{I}_m^{(\Delta)} = -\dot{J}_m$ ,

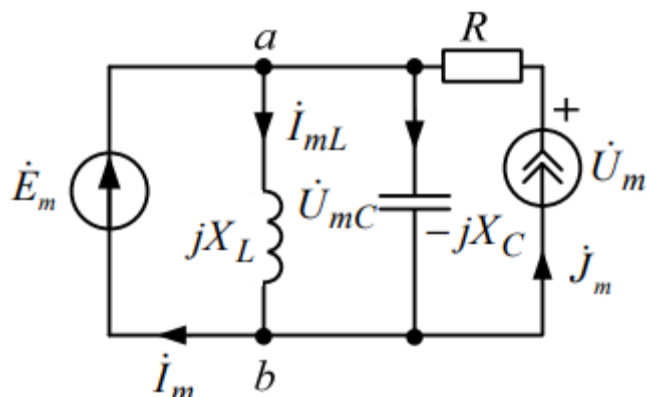
$$\dot{U}_{mC}^{(\Delta)} = \dot{E}_m - \dot{I}_m^{(\Delta)} R = 200e^{j90^\circ} + 2e^{j0^\circ} \cdot 100 = 282e^{j45^\circ}, \text{ B};$$

$$\dot{I}_{mL}^{(\Delta)} = \frac{\dot{U}_{mC}^{(\Delta)}}{jX_L} = \frac{282e^{j45^\circ}}{j100} = 2,82e^{-j45^\circ}, \text{ A};$$

$$i_L^{(\Delta)} = 2,82 \sin(100t - 45^\circ), \quad i_L(0) = i_L^{(\Delta)}(0) = 2,82 \sin(-45^\circ) = -2 \text{ A};$$

$$u_C^{(\Delta)} = 282 \sin(100t + 45^\circ), \quad u_C(0) = u_C^{(\Delta)}(0) = 282 \sin(45^\circ) = 200 \text{ B}.$$

2. Определяются принужденные составляющие тока в индуктивности, напряжения емкости и искомых величин:  $i_{\text{пр}_L}(t)$ ,  $i_{\text{пр}}(t)$ ,  $u_{\text{пр}_C}$ ,  $u_{\text{пр}_J}(t)$ .



$$X_L = X_C;$$

$$\dot{U}_{mC} = \dot{E}_m = 200e^{j90^\circ}, \text{ B};$$

$$\dot{I}_{mL} = \dot{U}_{mC} / jX_L = 2e^{j0^\circ}, \text{ A};$$

$$\dot{I}_m = -\dot{J}_m = 2e^{j180^\circ}, \text{ A};$$

$$\dot{U}_m = R\dot{J}_m + \dot{U}_{mC} = 282e^{j45^\circ}, \text{ B}.$$

$$i_{\text{пр}_L}(t) = 2 \sin 100t \text{ A}, u_{\text{пр}_C}(t) = 200 \sin(100t + 90^\circ), \text{ B};$$

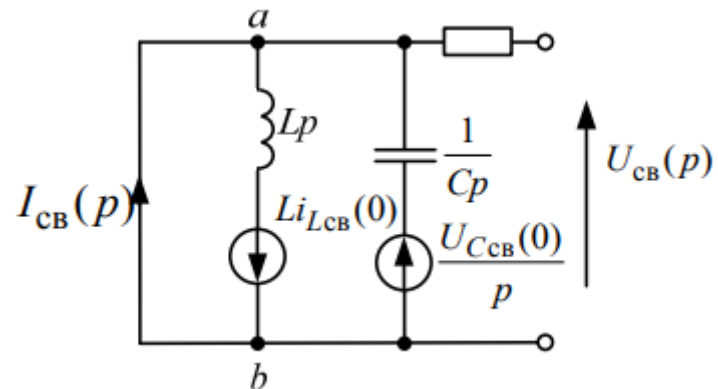
$$i_{\text{пр}}(t) = 2 \sin(100t + 180^\circ) \text{ A}, u_{\text{пр}_J}(t) = 282 \sin(100t + 45^\circ) \text{ B}.$$

3. Определяются значения свободных составляющих при  $t = 0$ :

$$i_{L_{\text{св}}}(0) = i_L(0) - i_{\text{пр}_L}(0) = 2 - 2 \sin 0 = -2 \text{ A};$$

$$u_{C_{\text{св}}}(0) = u_C(0) - u_{\text{пр}_C}(0) = 200 - 200 \sin 90^\circ = 0 \text{ В}.$$

4. Рассчитывается операторная схема после коммутации для свободных составляющих, где источники ЭДС закорочены, ветви с источниками тока разорваны, причем индуктивности и емкости изображаются так:



$$I_{\text{св}}(p) = \frac{Li_{L_{\text{св}}}(0)}{pL} = -\frac{2}{p} = \frac{D(p)}{B(p)};$$

$$U_{\text{св}}(p) = 0.$$

5. По теореме разложения и принципу наложения находим:

$$i(t) = i_{\text{пп}}(t) + \sum_{k=1}^{n=1} \frac{D(p_k)}{B'(p_k)} e^{p_k t} = 2 \sin(100t + 180^\circ) - 2, \text{ A};$$

$$u_J(t) = u_{\text{пп}_J}(t) + u_{\text{св}}(t) = 282 \sin(100t + 45^\circ), \text{ B}.$$

## 1.2 Метод переменных состояния

Метод переменных состояния используется для численного расчета переходных процессов, особенно в цепях высокого порядка ( $n > 2$ ), когда применение аналитических методов затруднительно. Суть метода заключается в сведении дифференциального уравнения электрической цепи  $n$ -го порядка к системе  $n$  дифференциальных уравнений первого порядка. Система дифференциальных уравнений первого порядка должна быть разрешена относительно производных. Коэффициенты при производных должны быть равны единице. Такая форма записи называется формой Коши. В качестве переменных состояния выбираются величины, однозначно определяющие состояние цепи – величины, подчиняющиеся законам коммутации, т.е. **токи в индуктивностях и напряжения на емкостях**.

Таким образом, составляются уравнения по законам Кирхгофа для мгновенных значений в послекоммутационной цепи, записываются в нормализованной форме или форме Коши и решаются численно с помощью встроенных функций MathCAD или Matlab.

Уравнения состояния в матричной форме:

$$[\mathbf{X}'(t)] = [\mathbf{A}] \cdot [\mathbf{X}(t)] + [\mathbf{B}] \cdot [\mathbf{F}(t)],$$

где  $[\mathbf{X}'(t)]$  – матрица-столбец производных от токов в индуктивностях и напряжений в емкостях ( $n$ -элементов);

$\mathbf{A}$  – квадратная матрица коэффициентов при переменных состояния ( $n$ -строк и  $n$ -столбцов);

$[\mathbf{B}]$  – прямоугольная матрица связи, состоящая из коэффициентов перед источниками ЭДС и тока ( $n$ -строк,  $m$ -столбцов);

$[\mathbf{F}(t)]$  – матрица-столбец (независимых) источников ЭДС и тока ( $m$ -элементов);

$\mathbf{D}(\mathbf{x}, t)$  – расширенная матрица.

Алгебраические уравнения для выходных величин в матричной форме:

$$[\mathbf{Y}(t)] = [\mathbf{C}] \times [\mathbf{X}(t)] + [\mathbf{D}] \times [\mathbf{F}(t)],$$

где  $[\mathbf{Y}(t)]$  – матрица-столбец выходных величин ( $k$ -элементов);

[C] – прямоугольная матрица связи выходных величин с переменными состояния (k-строк, n-столбцов);

[D] – прямоугольная матрица связи выходных величин с источниками (k-строк, m-столбцов).

### Порядок расчета:

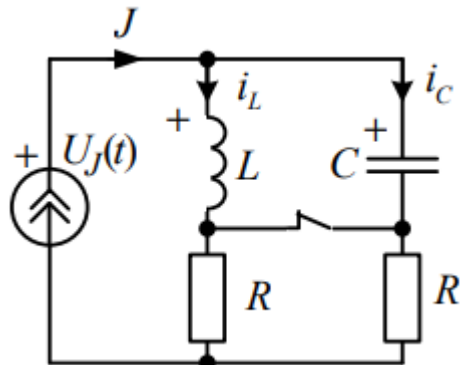
1. **ННУ.** Определяем независимые начальные условия в цепи до коммутации:  $i_L(0_+)$  или  $u_C(0_+)$ .

2. Для схемы после коммутации по законам Кирхгофа составляем уравнения.

3. Решаем уравнения численно с помощью встроенных функций MathCAD или MatLab.

Записываем окончательное решение и строим график.

### Пример:



**Дано:**

$$J = 1 \text{ А};$$

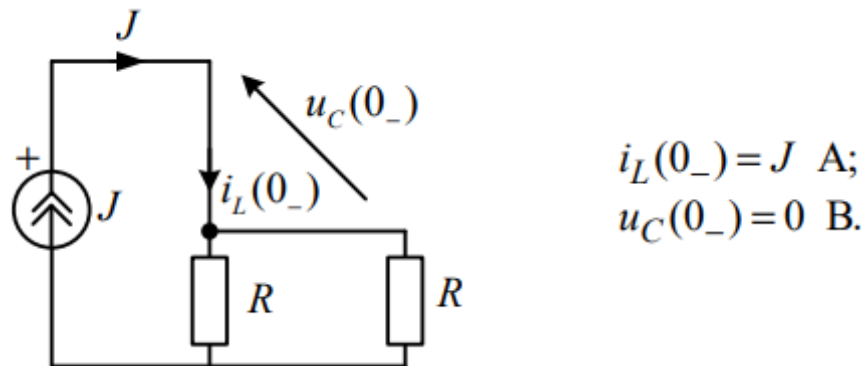
$$L = 1 \text{ Гн};$$

$$C = 10 \text{ мкФ};$$

$$R = 100 \text{ Ом}.$$

**Определить:**  $U_J(t)$

1. ННУ. Для схемы до коммутации определяем независимые начальные условия:



2. Для схемы после коммутации составляем уравнения по законам Кирхгофа. Система дифференциальных уравнений первого порядка должна быть разрешена относительно производных для получения уравнений. Для получения уравнений можно воспользоваться **методом наложения**.

В **послекоммутационной** цепи по теореме компенсации заменим реактивные элементы источниками: индуктивность – источником тока, величиной  $i_L$ , а ёмкость - источником ЭДС, величиной  $u_C$ . В полученной схеме определим **методом наложения** две величины:  $i_C$  и  $u_L$ :

# Контрольные вопросы

1. Что называется переходным процессом в электрической цепи?
2. Какие физические причины вызывают возникновение переходных процессов в цепях?
3. Чем отличается установившийся режим от переходного?
4. Что такое начальные условия и какую роль они играют в анализе переходных процессов?
5. Как формулируются начальные условия для индуктивности и ёмкости?
6. Запишите дифференциальное уравнение для RLC-цепи при последовательном соединении элементов.
7. Что означает характер корней характеристического уравнения при анализе переходного процесса в цепи второго порядка?
8. Как влияет величина сопротивления на характер переходного процесса в RLC-цепи?
9. Перечислите возможные режимы переходного процесса в цепи второго порядка (апериодический, колебательный, критический).
10. В чём заключается метод классического (временного) анализа переходных процессов?
11. Как использовать метод постоянных коэффициентов для решения дифференциальных уравнений цепей?
12. Каков порядок действий при расчёте переходного процесса в цепи при коммутации с источником постоянного напряжения?

## Список литературы

1. Теоретические основы электротехники [Текст]: учебник для студентов вузов энергетических и электротехнических специальностей / А. Н. Горбу-нов [и др.] ; под ред. А. В. Кравцова, 2022. - 412 с.
2. Электротехника и электроника [Текст]: учебник для студентов вузов энергетических и электротехнических специальностей / А. Н. Горбунов [и др.] ; под ред. А. В. Кравцова, 2022. - 614 с.
3. Бессонов, Л.А. Теоретические основы электротехники. Электрические цепи [Текст] : учебник для студентов вузов, аспирантов, обучающихся по направлению подготовки "Электротехника, электромеханика и электротехнологии", "Электроэнергетика", "Приборостроение" / Л. А. Бессонов, 2023. - 701 с.
4. Бессонов, Л.А. Теоретические основы электротехники. Электромагнитное поле [Текст] : Учебник для студентов вузов, обучающихся по направлениям "Электротехника", "Электротехнологии", "Электромеханика" и "Приборостроение" / Л.А. Бессонов, 2023. - 316 с.
5. Ждановская Г. В. Электрооборудование технологических установок отрасли [Текст]. Ч. 1: Теоретические основы электротехники, 2023. - 414 с.
6. Ibrayev, A.T. Theoretical basics of electrical engineering [Текст]: textbook for is students of technical specialty / A. T. Ibrayev, 2016. - 298 p.
7. Бессонов, Л.А. Теоретические основы электротехники. Электромагнитное поле [Текст]: Электронный ресурс]: учебник / Л. А. Бессонов, 2016. - 317 с.
8. Бессонов, Л.А. Теоретические основы электротехники. Электрические цепи [Электронный ресурс] : учебник / Л. А. Бессонов, 2016. - 701 с.
9. Теоретические основы электротехники : учебник / А. Д. Мехтиев [и др.]; Кафедра "Энергетические системы". - Караганда : Караганда : КарГТУ, 2017
10. Johnson, Don. Fundamentals of Electrical Engineering I [Электронный ресурс] / Don Johnson, 2017. - 334/1 с.
11. Кузнецов Э. В. Электротехника и электроника [Текст]: учебник и практикум для академического бакалавриата. Т. 1: Электрические и магнитные цепи: учебник и практикум для студентов, 2019. - 255 с.
12. Основы электроники: учебник / А. В. Таранов [и др.] ; М-во образования и науки РК, Карагандинский государственный технический университет, Кафедра "Энергетические системы". - Караганда : Караганда : КарГТУ, 2019. - 160 с.
13. Basics of Electronics : tutorial / A. V. Taranov [et al.] ; Karaganda state technical university. - Karaganda : KSTU Publishing House, 2020. - 148 p.

**Спасибо за внимание!**

**Желаю успехов в изучении данного онлайн-курса!**